



US

FIG. 6

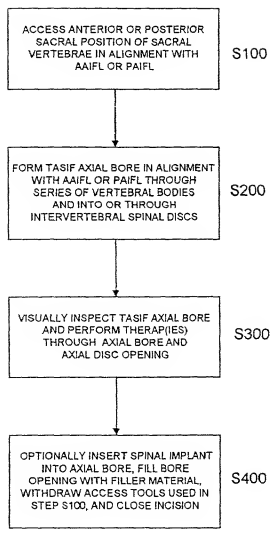
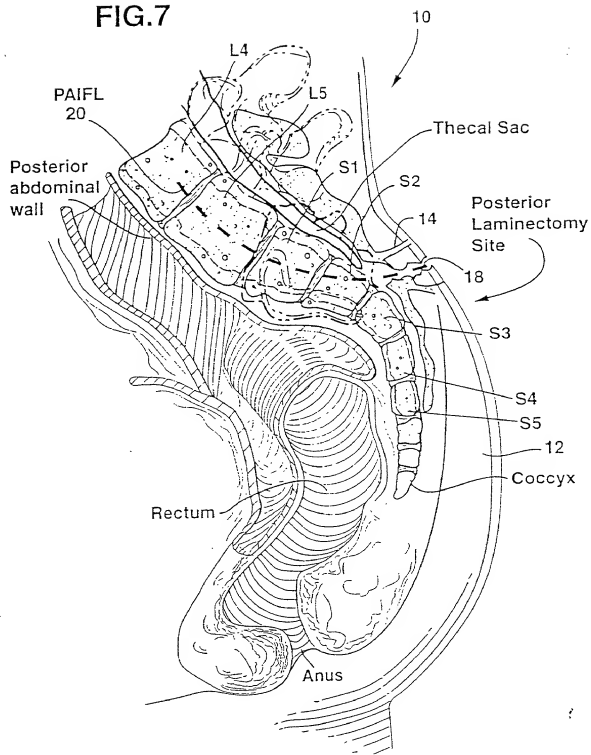


FIG.7



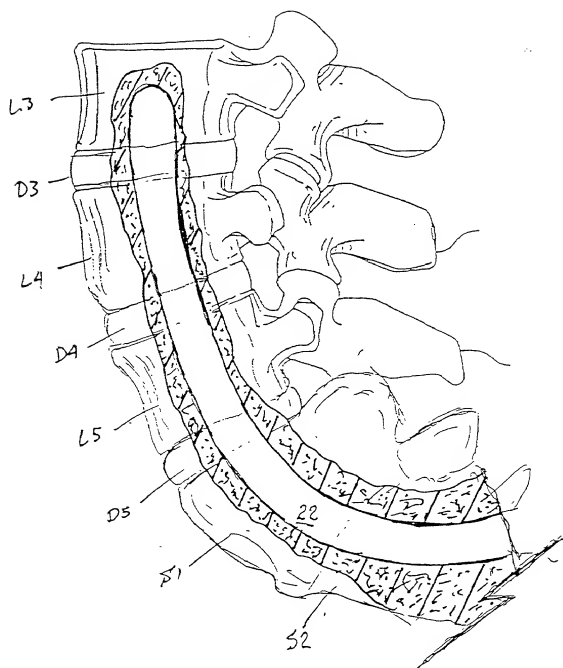
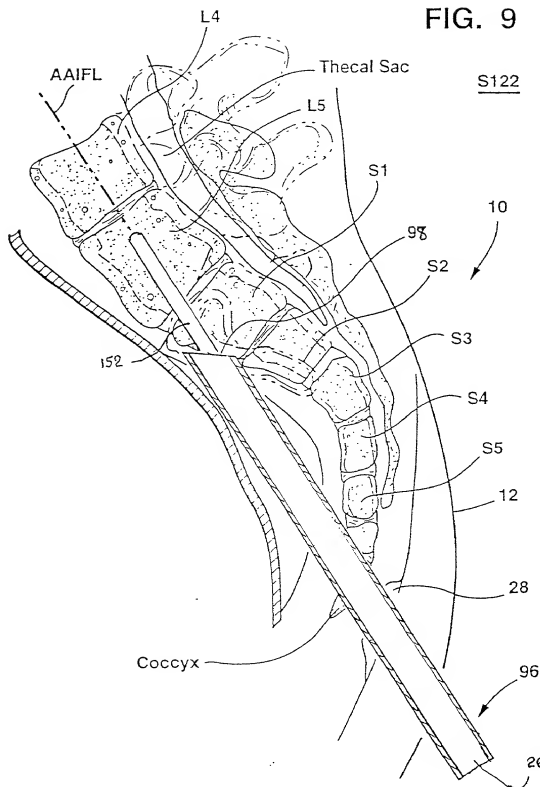


FIG. 8

FIG. 9



S122

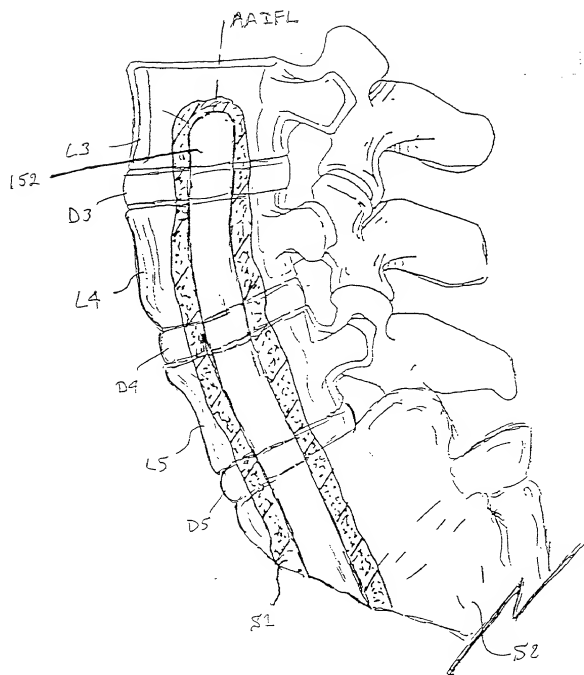


FIG. 10

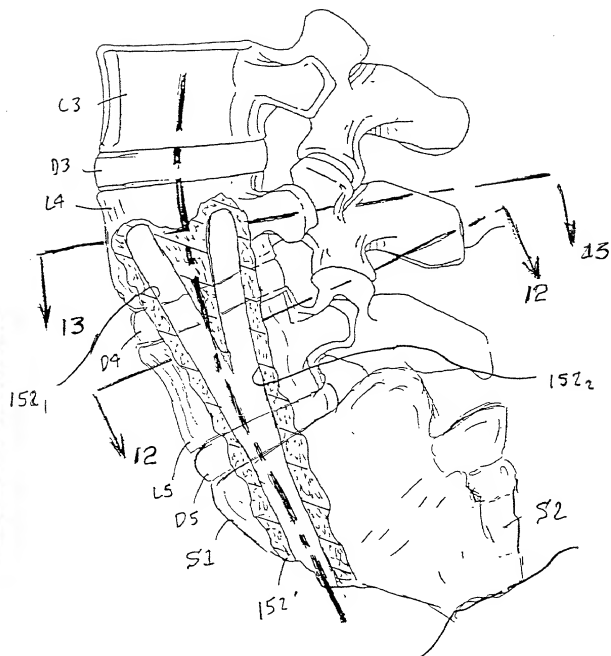


FIG. 11

FIG. 12

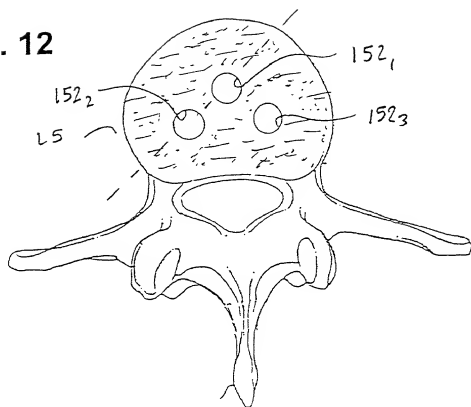


FIG. 13

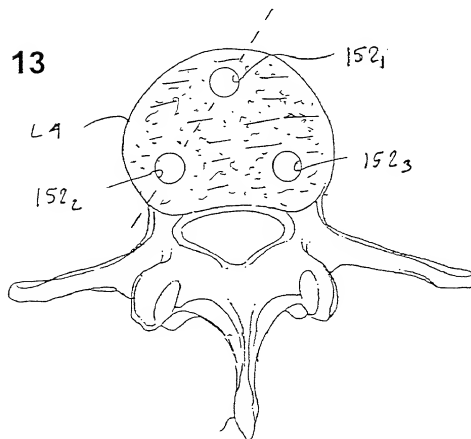
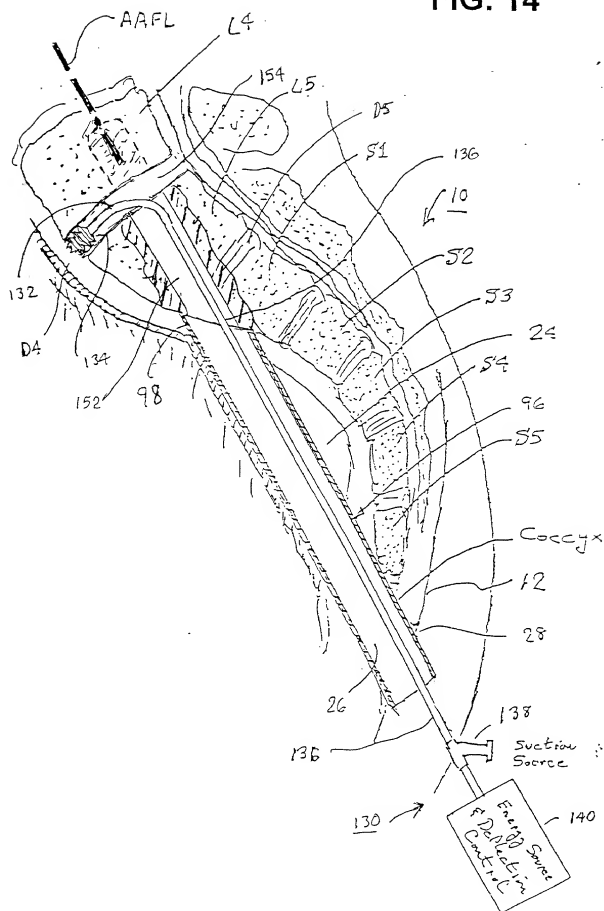




FIG. 14



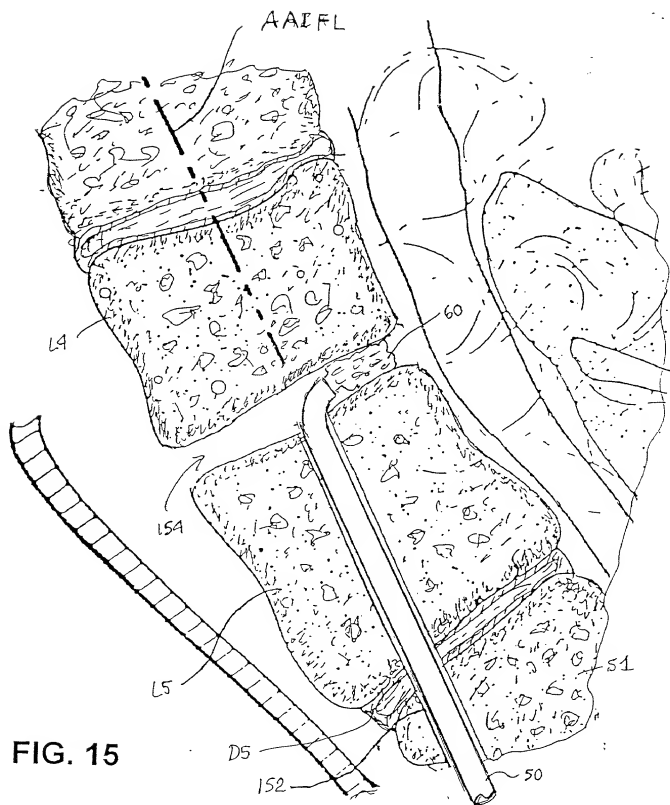
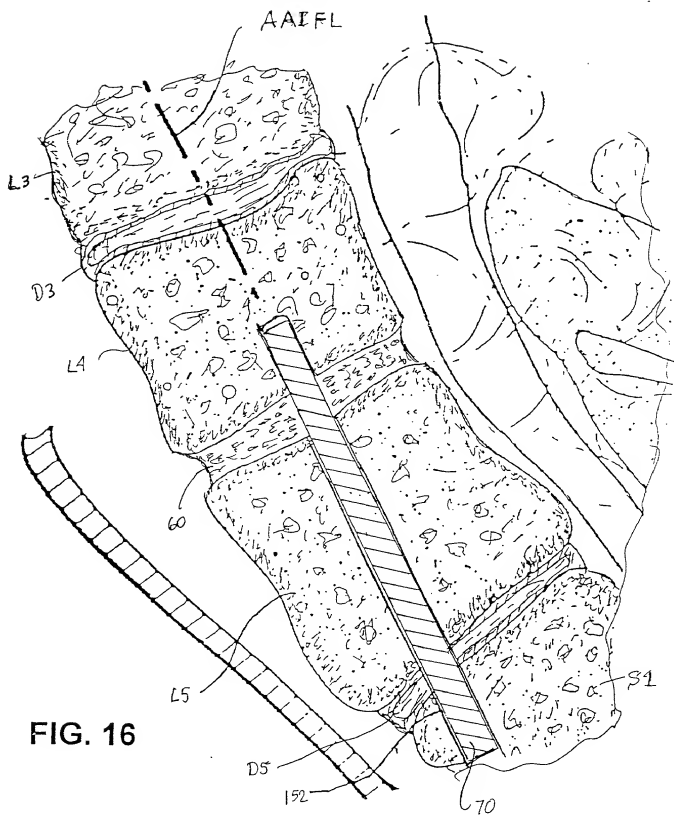


FIG. 15



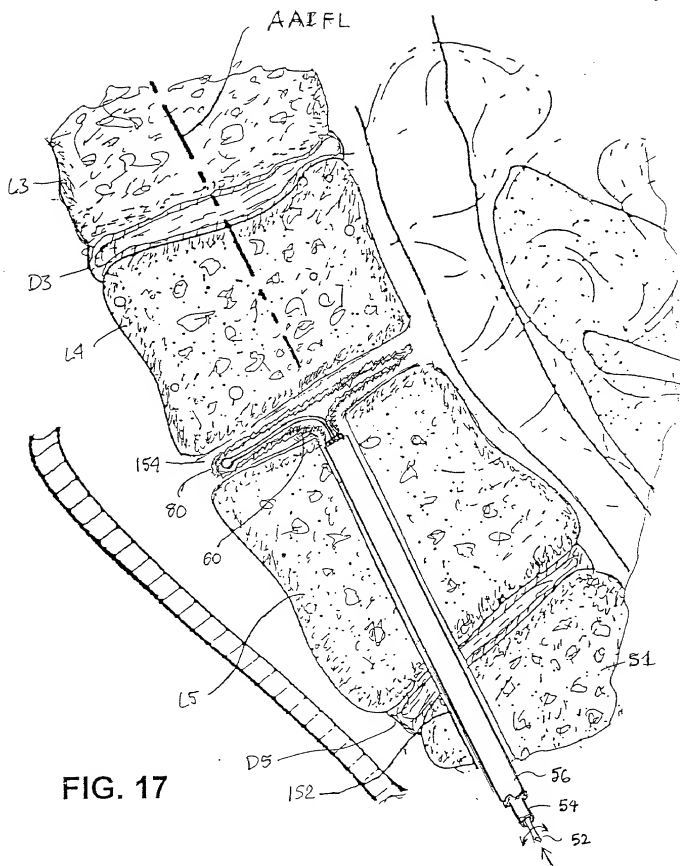
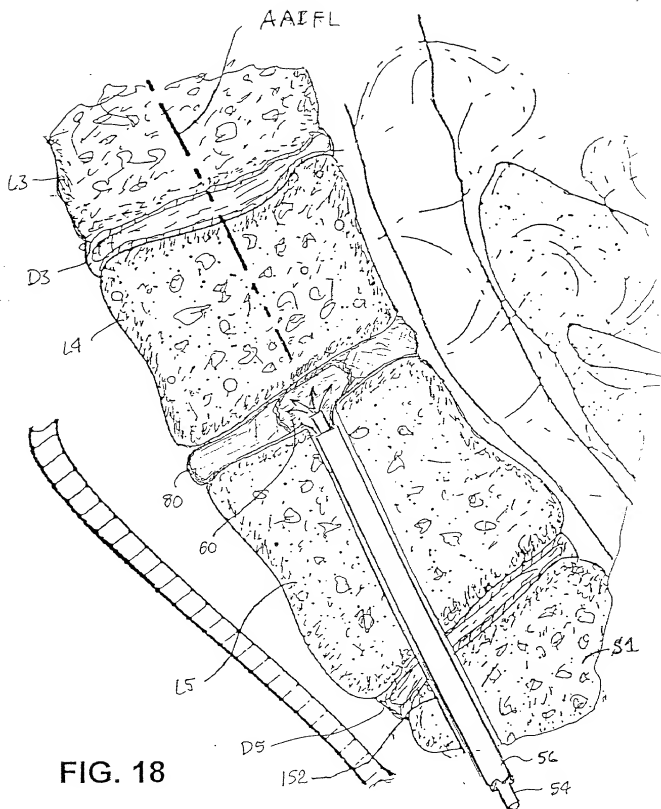


FIG. 17



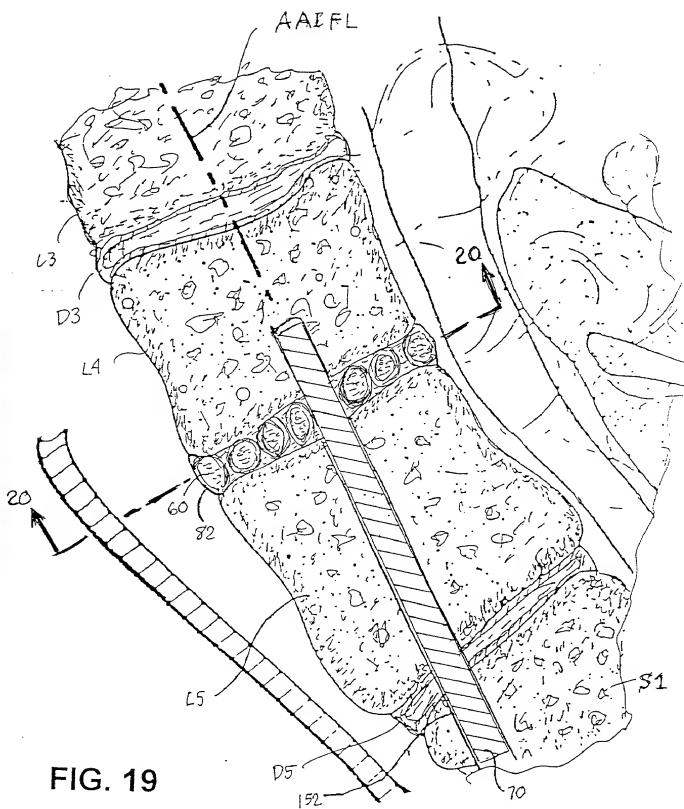


FIG. 20

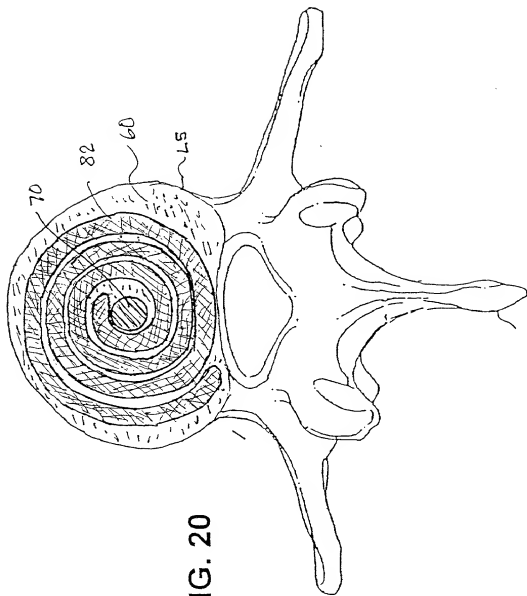


FIG. 21

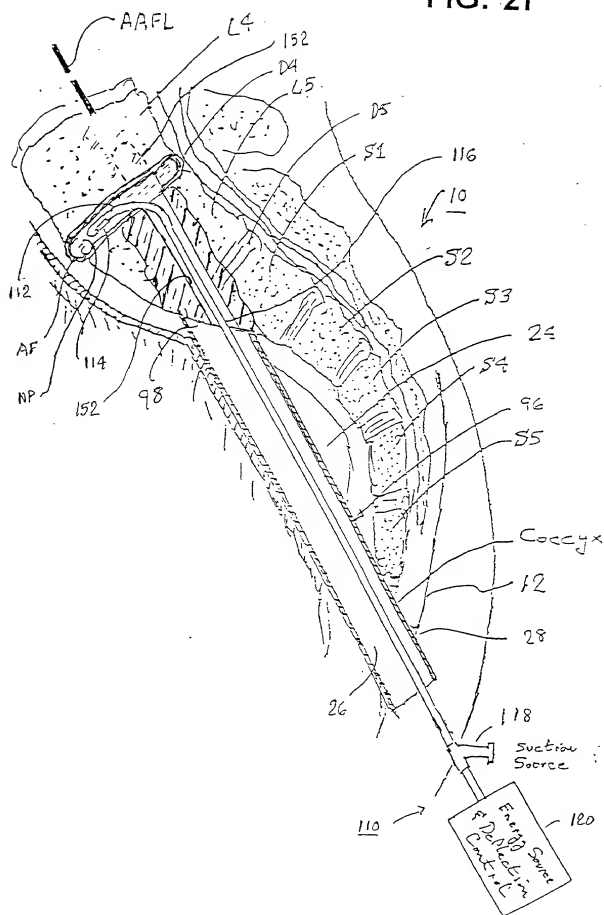
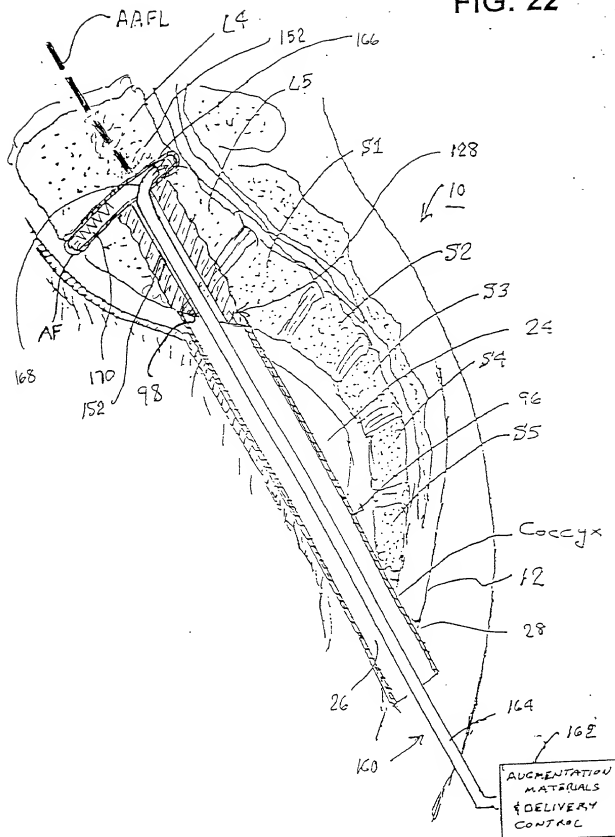




FIG. 22



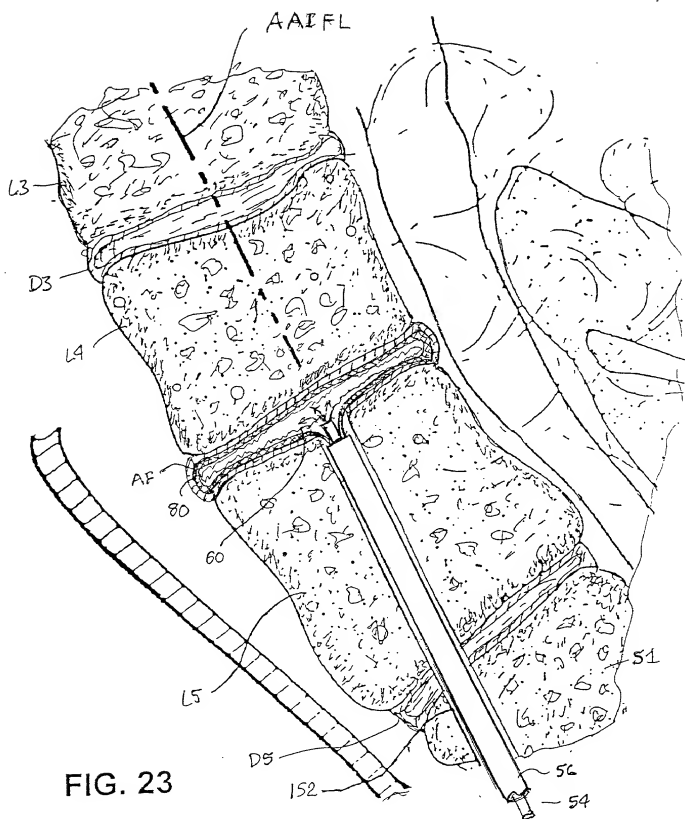
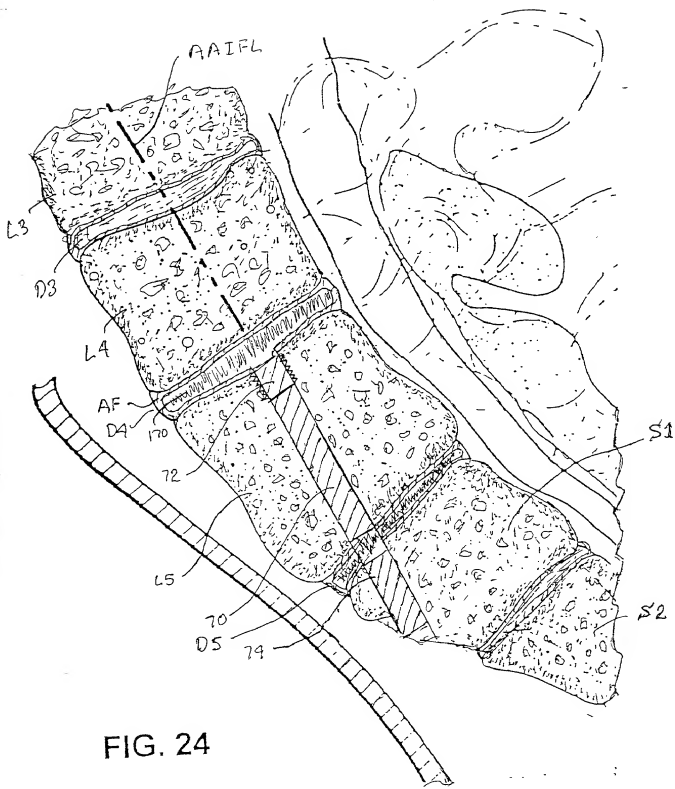
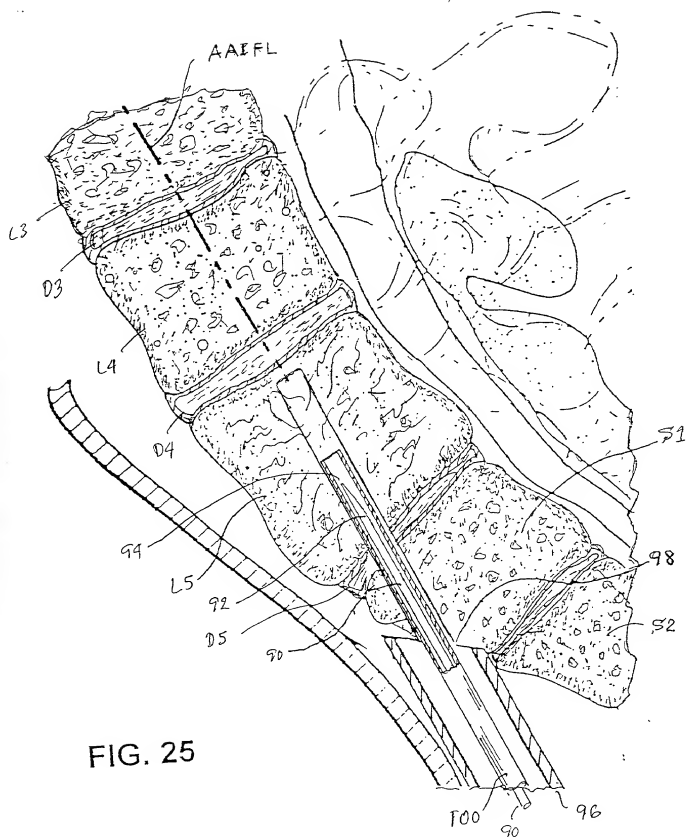


FIG. 23





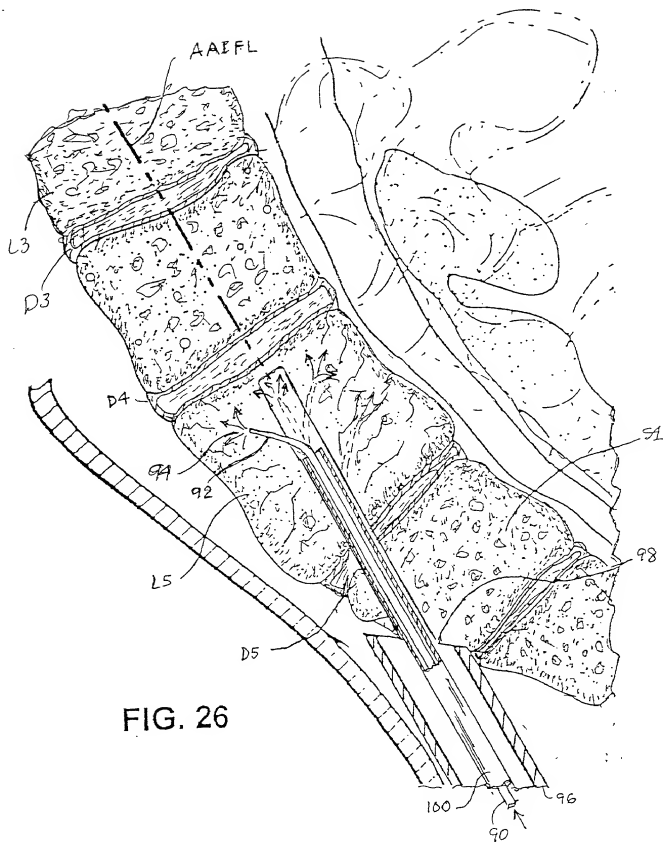


FIG. 26

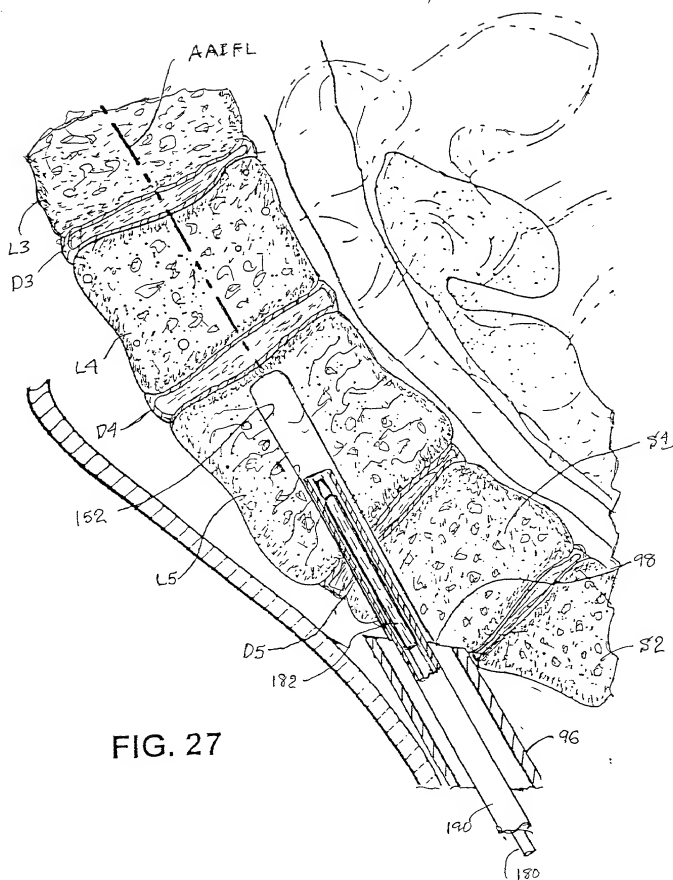


FIG. 27

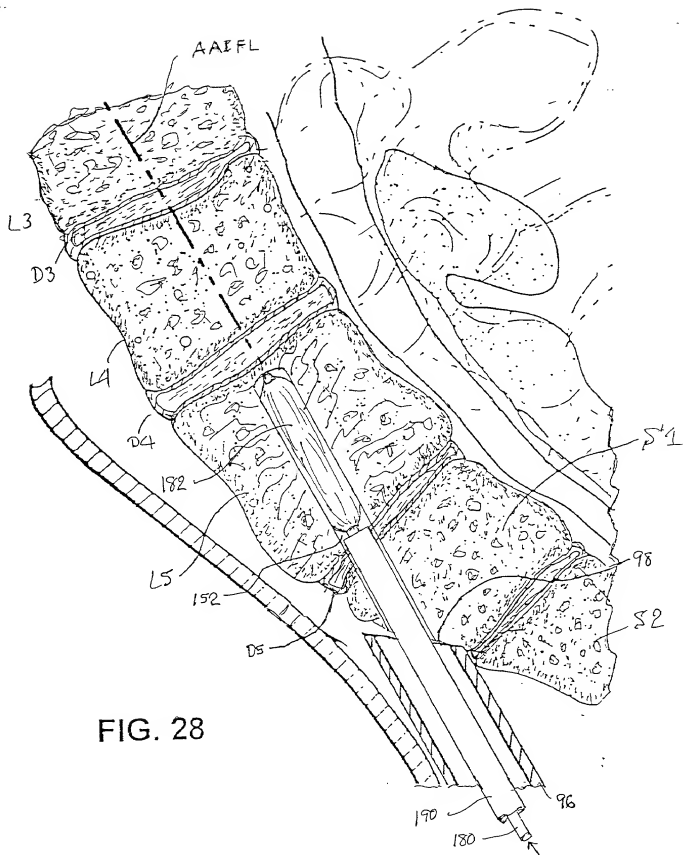


FIG. 28

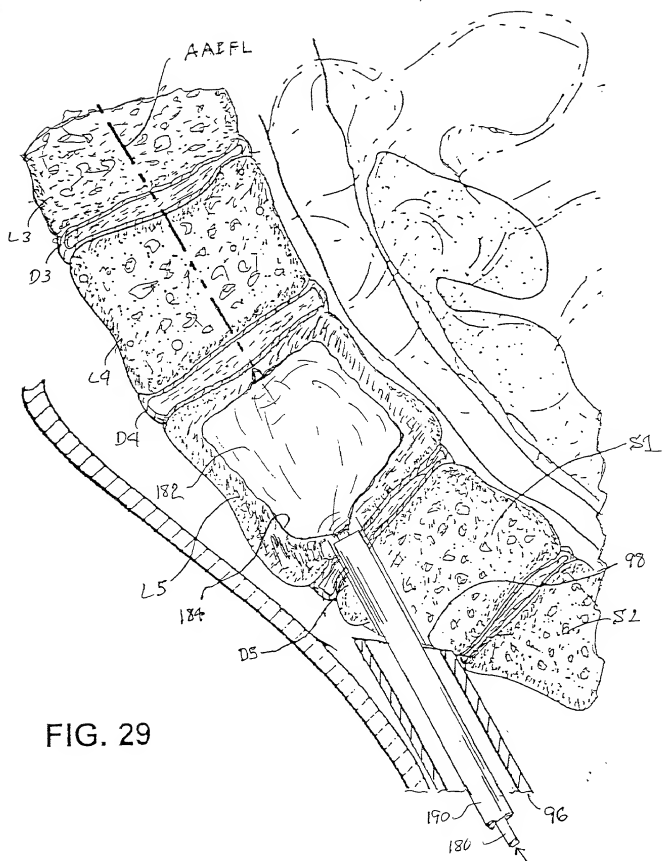


FIG. 29



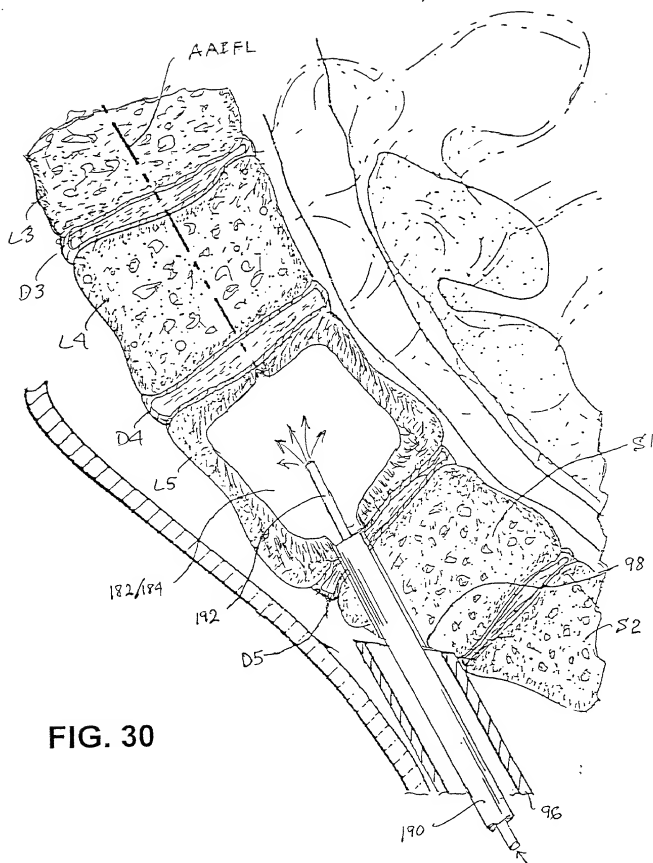
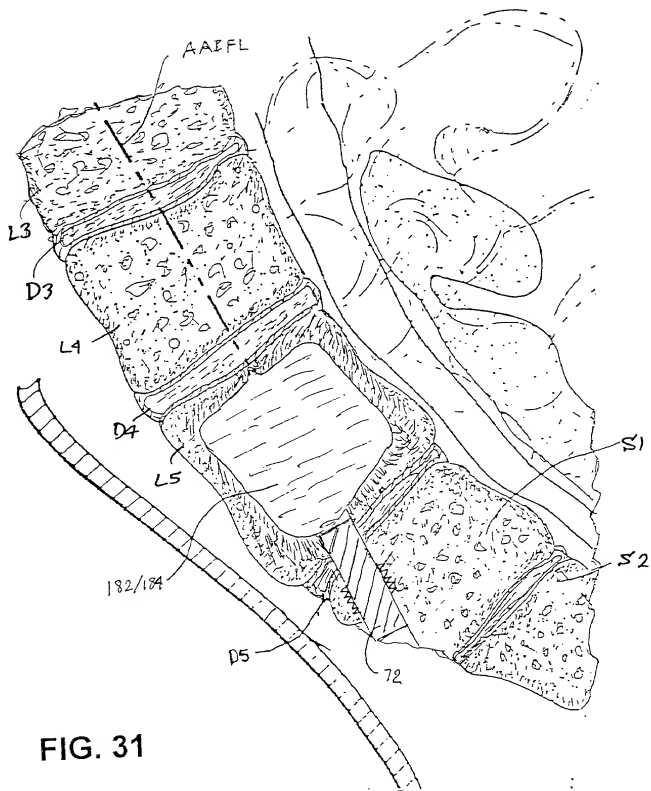


FIG. 30



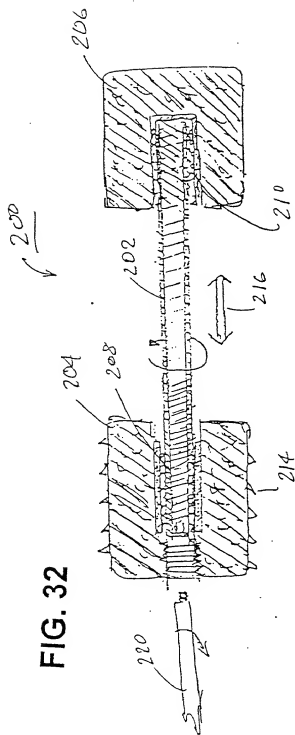


FIG. 33

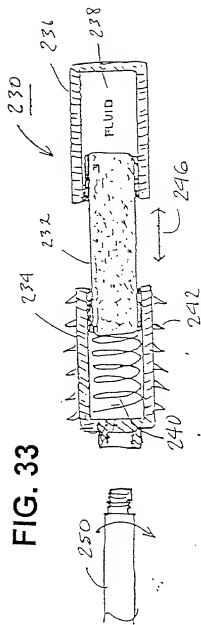


FIG. 34

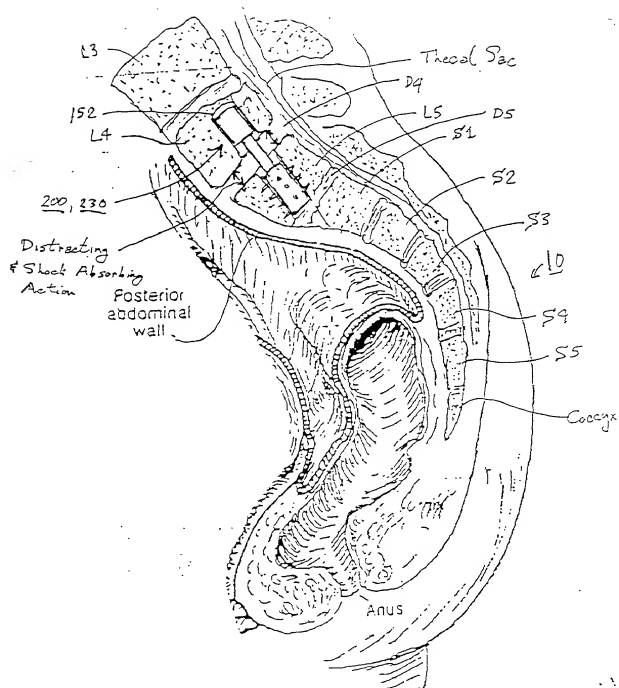


FIG. 35

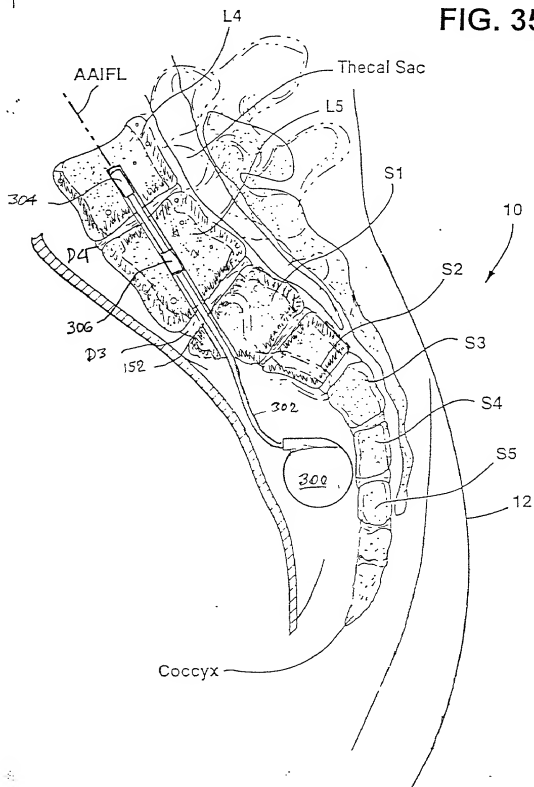




FIG. 37

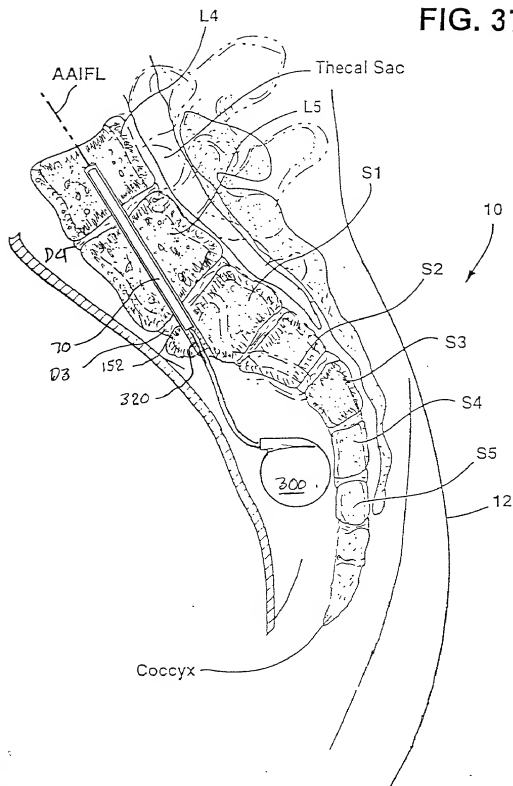






FIG. 39

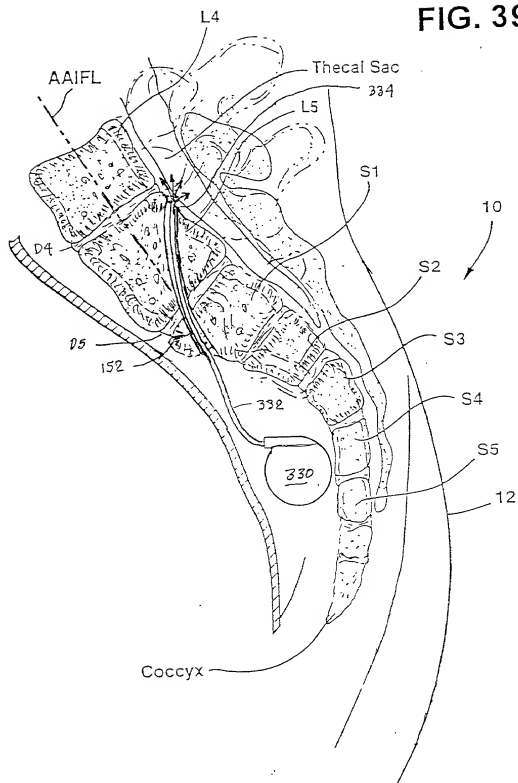
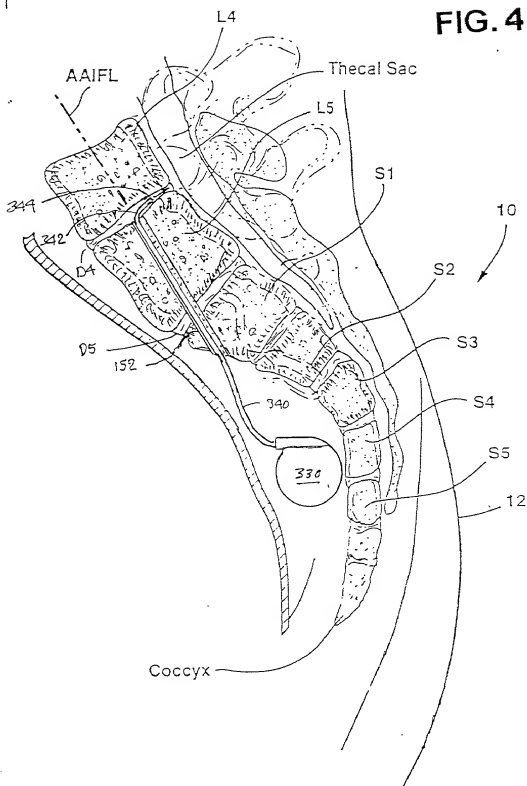
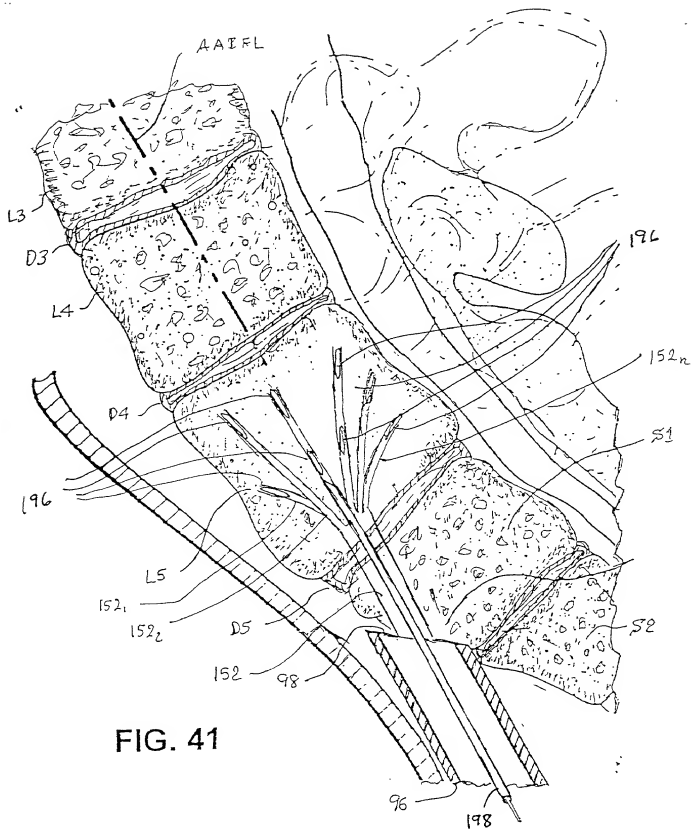


FIG. 40





AAIFL

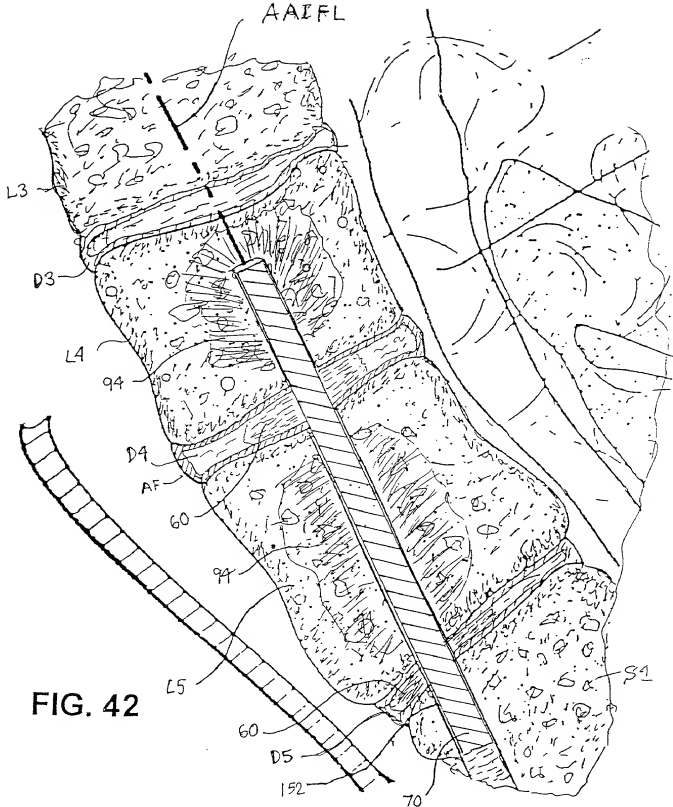


FIG. 42